

# REGIONE BASILICATA



## COMUNE DI MONTEMILONE

PROVINCIA DI POTENZA

### PROGETTO DEFINITIVO

IMPIANTO FOTOVOLTAICO AD INSEGUIMENTO SOLARE DA 19,9584 MWp DA REALIZZARSI IN LOCALITA' SPINAMARA SOPRANA NEL COMUNE DI MONTEMILONE

TAVOLA:	A.3	Relazione Idrogeologica
SCALA:		
DATA:	Novembre 2022	

Committente:	SPINAMARA SOPRANA - S.R.L.	
Progettista impianti elettrici:	Ing. Paolo Acquasanta	
Collaboratori:	Ing. Eustachio Santarsia	
Opere edili:	Ing. Paolo Acquasanta Ing. Eustachio Santarsia	
Archeologo:	Dott.ssa Marta Pollio	
Geologo:	Dott. Maurizio Giacomino	
Agronomo:	Arch. paes. Cosimo D. Belfiore	



Dott. Geol. Maurizio GIACOMINO  
Via del Ginepro, 23 – 75100 Matera  
3409134882 [mauriziogiacomino@gmail.com](mailto:mauriziogiacomino@gmail.com)

CODE  
Spinamara Soprana

PAGE  
1 di/of 10

# RELAZIONE IDROGEOLOGICA

## IMPIANTO “SPINAMARA SOPRANA” MONTEMILONE

### TECNICI INCARICATI

Dott. Geol. Maurizio Giacomino

Matera, li 22 novembre 2022



The image shows a handwritten signature in blue ink that reads "Maurizio Giacomino". Below the signature is a circular blue stamp. The stamp contains the text: "ORDINE DEI GEOLOGI", "GEOL. MAURIZIO GIACOMINO", "n. 431", "Sez. A", and "BASILICATA".

REV.	DATE	DESCRIPTION	PREPARED	VERIFIED	APPROVED

Dott. Geol. Maurizio GIACOMINO Via del Ginepro, 23 – 75100 Matera 3409134882 <a href="mailto:mauriziogiacomino@gmail.com">mauriziogiacomino@gmail.com</a>	CODE Spinamara Soprana
	PAGE 2 di/of 10

## 1 IDROGEOLOGIA ED IDROLOGIA

Le acque di precipitazione che raggiungono il suolo sono ripartite in aliquota di scorrimento superficiale, e d'infiltrazione nel sottosuolo, secondo il grado di permeabilità dei terreni affioranti.

Nel caso specifico della zona del Parco fotovoltaico "Spinamara Soprana" le caratteristiche granulometriche e litologiche degli strati superficiali permettono l'infiltrazione di acqua di precipitazione meteorica favorendo una circolazione di acqua nel sottosuolo, consentendo in tal modo l'accumulo di acqua di falda.

Dai rilievi di superficie e dai dati di bibliografia è emerso che la falda acquifera che interessa i pianori di stretto interesse, si trova ad una profondità di circa 30 m ed è trattenuta alla base dalla formazione argillosa impermeabile.

A luoghi si riscontra anche la presenza di piccole falde sospese che sono dovute alla presenza di lenti limose argillose presenti nelle formazioni granulari permeabili come le sabbie e i conglomerati superficiali, ma mai a profondità esigua che possano interessare le strutture di fondazione degli inseguitori solari.

Nell'elaborato A12.a.10. – Carta Idrogeologica in scala 1:2.000 sono evidenziati i terreni a vario grado di permeabilità ed i loro rapporti stratigrafici.

L'idrologia superficiale dell'area di stretto interesse è rappresentata da fossi profondi con fondo piatto che incidono i terreni della piana di sedimentazione marina di chiusura del ciclo sedimentario della Fossa Bradanica.

Tali fossi formano un reticolo dendritico che termina nel collettore principale rappresentato dal torrente San Nicola.

Gran parte dell'anno i fossi sono in secca mentre si riattivano in occasione delle stagioni autunnali e invernali quando la piovosità della zona aumenta notevolmente.

Di seguito si riportano i dati di uno studio della piovosità della Regione Basilicata eseguito dal dott. Stelluti e pubblicato nel settembre 2009 dall'ALSIA (Agenzia Lucana di Sviluppo e di Innovazione in Agricoltura) nel quale mensilmente si riportano i dati della piovosità raccolti nell'arco di tempo trascorso tra il 1971 e 2001.

Dott. Geol. Maurizio GIACOMINO Via del Ginepro, 23 – 75100 Matera 3409134882 <a href="mailto:mauriziogiacomino@gmail.com">mauriziogiacomino@gmail.com</a>	CODE Spinamara Soprana
	PAGE 3 di/of 10

Le precipitazioni medie mensili superano ovunque i 62 mm durante il trimestre novembre – gennaio (periodo più piovoso), mentre nel corso del trimestre giugno – agosto si scende fino a quantità di 27 mm.

Tabella 1: Elenco delle stazioni pluviometriche prese in considerazione e relative quote e coordinate geografiche.

Codice	Stazione	Quota (m)	Longitudine			Latitudine		
1	Agromonte C.C.	500	16°	4'	24"	40°	4'	0"
2	Aliano	497	16°	15'	24"	40°	17'	1"
3	Armento	640	16°	5'	24"	40°	17'	1"
4	Bernalda	127	16°	42'	24"	40°	24'	1"
5	Calciano	450	16°	13'	24"	40°	35'	0"
6	Calvello	700	15°	52'	24"	40°	28'	0"
7	Calvera	605	16°	10'	1"	40°	8'	1"
8	Cancellara	620	15°	56'	24"	40°	44'	0"
9	Carbone	685	16°	6'	24"	40°	7'	1"
10	Castelsaraceno	950	16°	0'	24"	40°	9'	1"
11	Castronuovo S. Andrea	660	16°	12'	31"	40°	11'	0"
12	Cersosimo	563	16°	22'	24"	40°	2'	1"
13	Cogliandrino	700	15°	57'	24"	40°	6'	0"
14	Cognato	557	16°	9'	24"	40°	34'	0"
15	Corleto Perticara	746	16°	2'	8"	40°	23'	0"
16	Ferrandina	496	16°	28'	8"	40°	29'	0"
17	FrancaVilla in Sinni	421	16°	12'	8"	40°	5'	0"
18	Gorgoglione	800	16°	9'	8"	40°	24'	1"
19	Grancia	747	15°	57'	24"	40°	37'	0"
20	Grassano	577	16°	18'	24"	40°	38'	0"
21	Grottole	481	16°	24'	24"	40°	36'	0"
22	Grumento Nova	585	15°	55'	15"	40°	17'	0"
23	Irsina	533	16°	15'	38"	40°	44'	1"
24	Lagonegro	666	15°	47'	24"	40°	7'	0"
25	Laurenzana	850	15°	58'	8"	40°	28'	0"
26	Lauria Inferiore	630	15°	51'	24"	40°	2'	1"
27	Malabocca C.C.	175	16°	30'	8"	40°	19'	0"
28	Maratea	300	15°	44'	24"	39°	59'	0"
29	Marsico Nuovo	850	15°	45'	6"	40°	25'	0"
30	Marsicovetere	1039	15°	49'	8"	40°	22'	0"
31	Matera	450	16°	35'	43"	40°	39'	1"
32	Melfi	531	15°	39'	0"	41°	0'	0"
33	Metaponto	3	16°	49'	8"	40°	22'	0"
34	Mezzana di Lucania	918	16°	11'	24"	39°	58'	0"
35	Miglionico	466	16°	30'	8"	40°	34'	0"
36	Missanello	566	16°	11'	24"	40°	16'	1"
37	Moliterno	879	15°	52'	8"	40°	14'	0"
38	Montalbano Jonico	292	16°	34'	8"	40°	16'	1"
39	Montemurro	710	15°	59'	8"	40°	17'	1"
40	Montescaglioso	364	16°	40'	8"	40°	34'	0"
41	Noepoli	676	16°	21'	24"	40°	5'	1"
42	Nova Siri	300	16°	33'	24"	40°	8'	1"
43	Nova Siri Scalo	2	16°	39'	24"	40°	7'	1"
44	Palazzo San Gervasio	483	16°	0'	24"	40°	55'	1"
45	Pisticci	364	16°	34'	24"	40°	23'	0"
46	Poggiorsini	461	16°	16'	24"	40°	54'	1"
47	Policoro	31	16°	42'	24"	40°	13'	0"
48	Potenza	811	15°	48'	6"	40°	38'	0"
49	Rivello	450	15°	45'	8"	40°	5'	0"
50	Roccanova	654	16°	13'	24"	40°	13'	0"
51	Salandra	598	16°	19'	8"	40°	30'	1"
52	San Basilio	67	16°	42'	8"	40°	19'	0"
53	San Giorgio Lucano	416	16°	24'	24"	40°	7'	0"
54	San Martino d'Agri	661	16°	4'	24"	40°	14'	0"
55	San Mauro Forte	565	16°	16'	24"	40°	29'	0"
56	San Severino Lucano	884	16°	9'	24"	40°	0'	1"
57	Sciffra	780	15°	47'	19"	40°	34'	0"
58	Senise	330	16°	18'	24"	40°	8'	1"
59	Stigliano	908	16°	14'	51"	40°	24'	1"
60	Teana	800	16°	9'	8"	40°	7'	1"
61	Terranova di Pollino	930	16°	18'	8"	39°	59'	0"
62	Tolve	568	16°	2'	24"	40°	42'	0"
63	Torre Accio	140	16°	40'	29"	40°	24'	0"
64	Tramutola	654	15°	45'	53"	40°	1'	0"
65	Trecchina	500	15°	48'	24"	40°	0'	1"
66	Tursi	348	16°	29'	24"	40°	15'	0"
67	Valsinni	250	16°	27'	24"	40°	9'	1"
68	Viggiano	1023	15°	53'	8"	40°	20'	0"



Figura 1: Ubicazione delle stazioni pluviometriche.

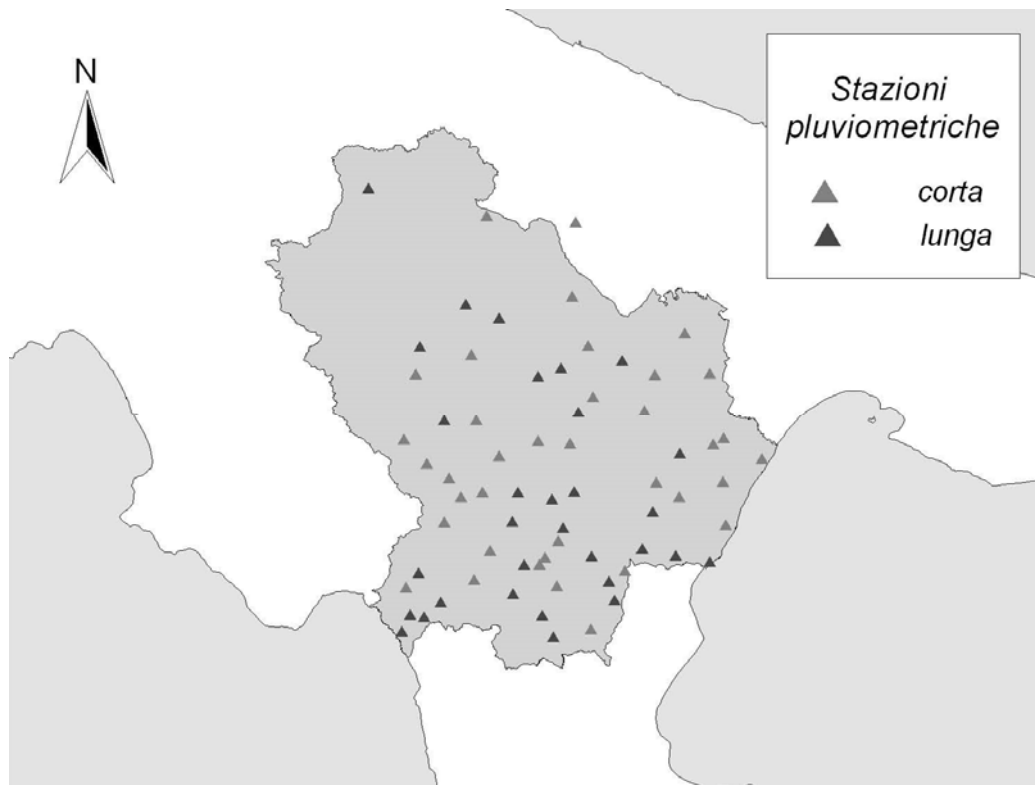


Figura 3: Ubicazione delle stazioni pluviometriche con serie storiche "lunghe" e "corte".

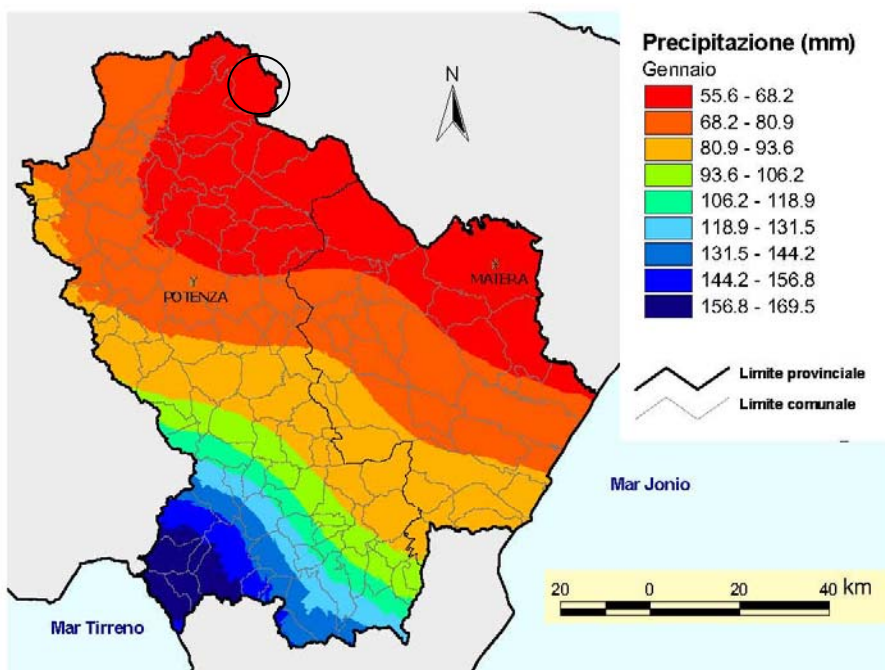


Figura 5: Mappa spaziale delle precipitazioni di gennaio ottenuta con la tecnica del cokriging co-locato.

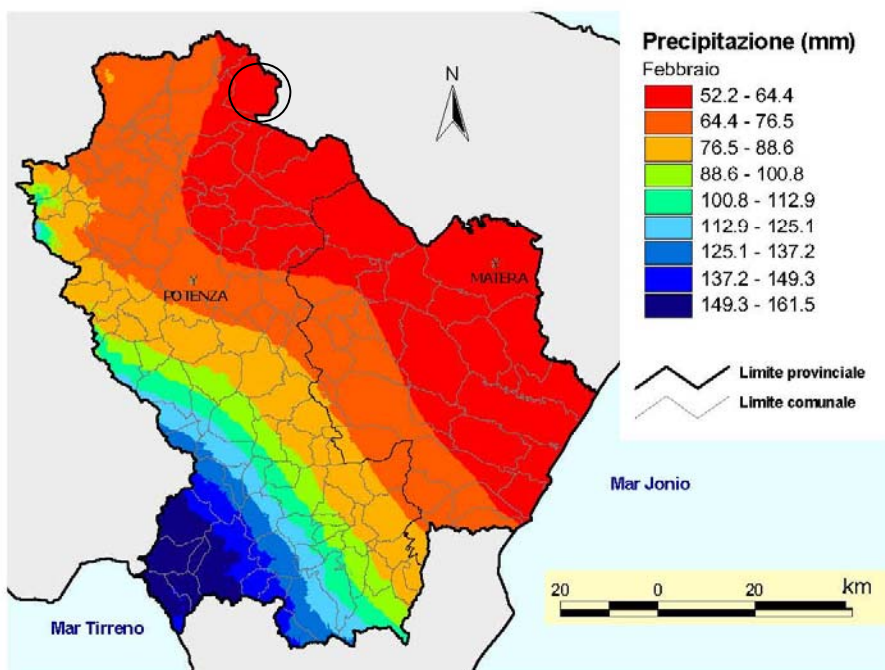


Figura 6: Mappa spaziale delle precipitazioni di febbraio ottenuta con la tecnica del cokriging co-locato.

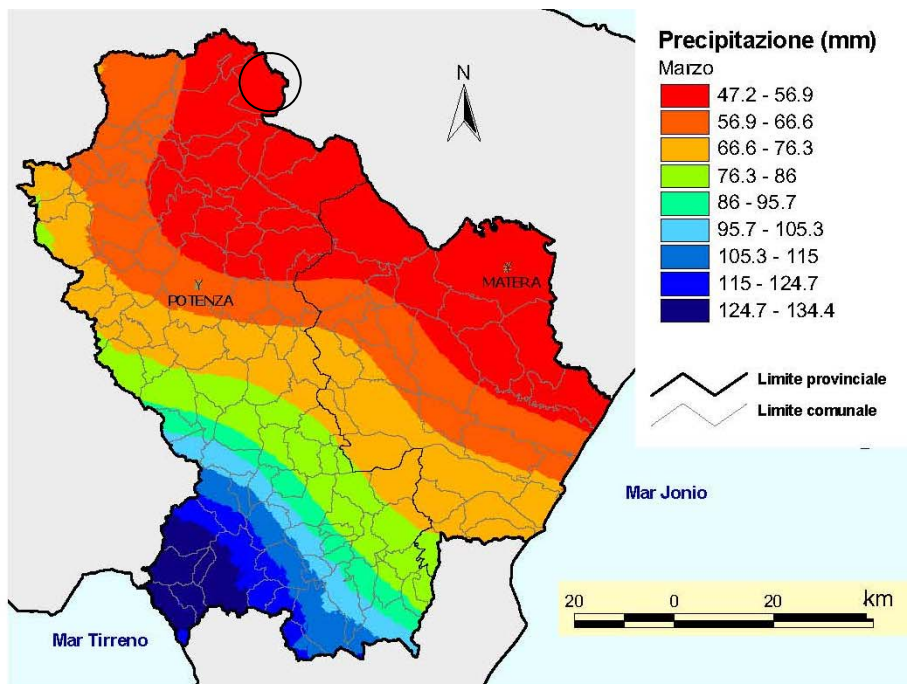


Figura 7: Mappa spaziale delle precipitazioni di marzo ottenuta con la tecnica del cokriging co-locato.

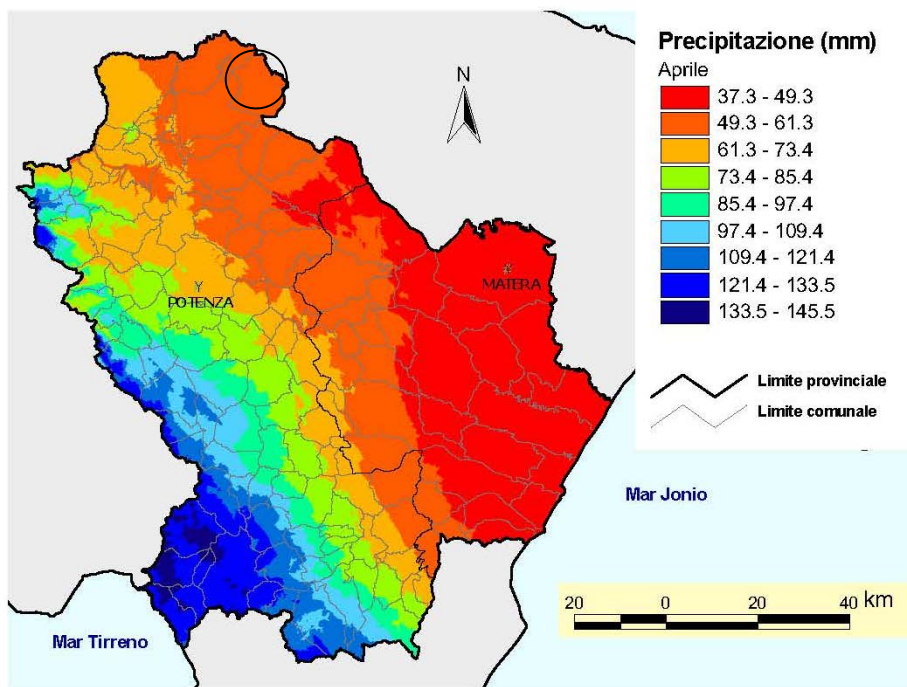


Figura 8: Mappa spaziale delle precipitazioni di aprile ottenuta con la tecnica del cokriging co-locato.

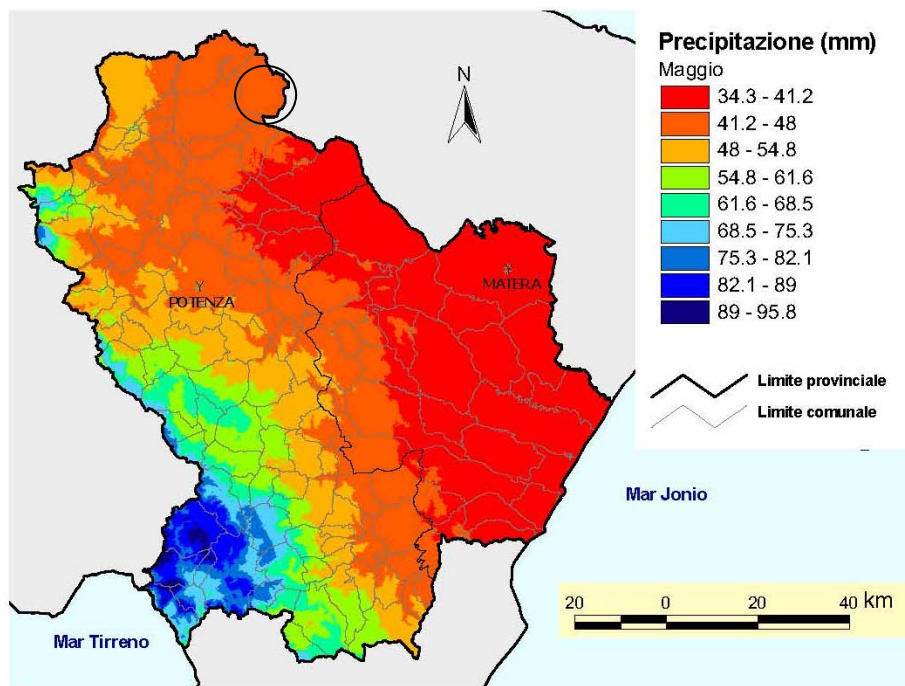


Figura 9: Mappa spaziale delle precipitazioni di maggio ottenuta con la tecnica del cokriging co-localato.

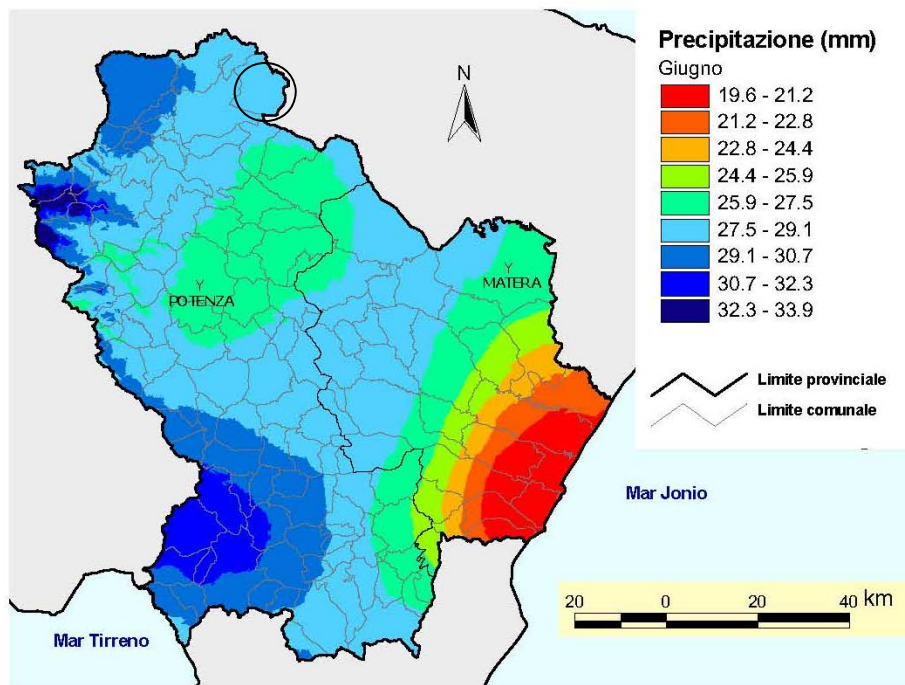


Figura 10: Mappa spaziale delle precipitazioni di giugno ottenuta con la tecnica del cokriging co-localato.



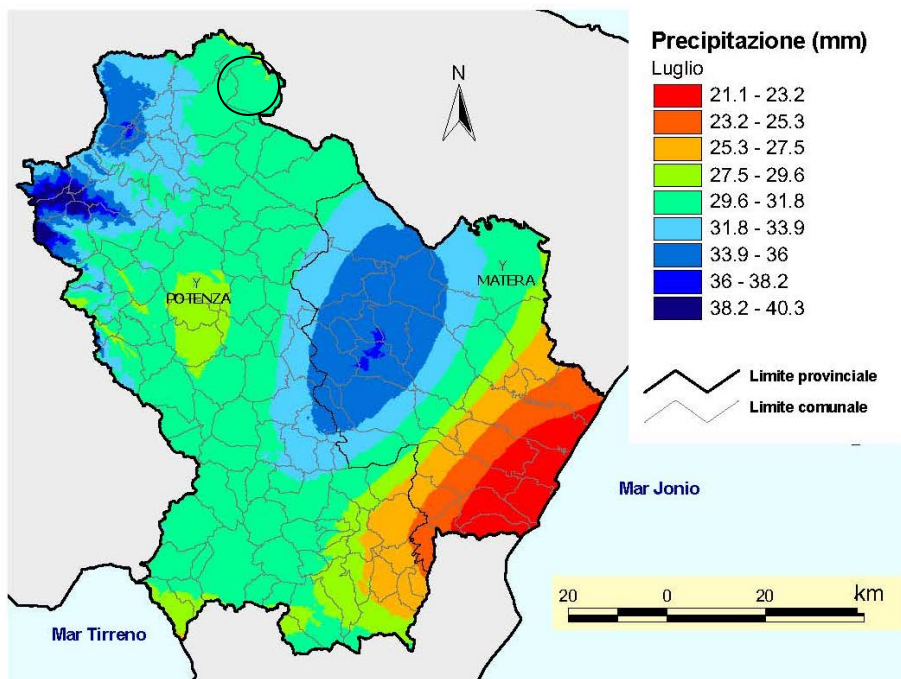


Figura 11: Mappa spaziale delle precipitazioni di luglio ottenuta con la tecnica del cokriging co-locato.

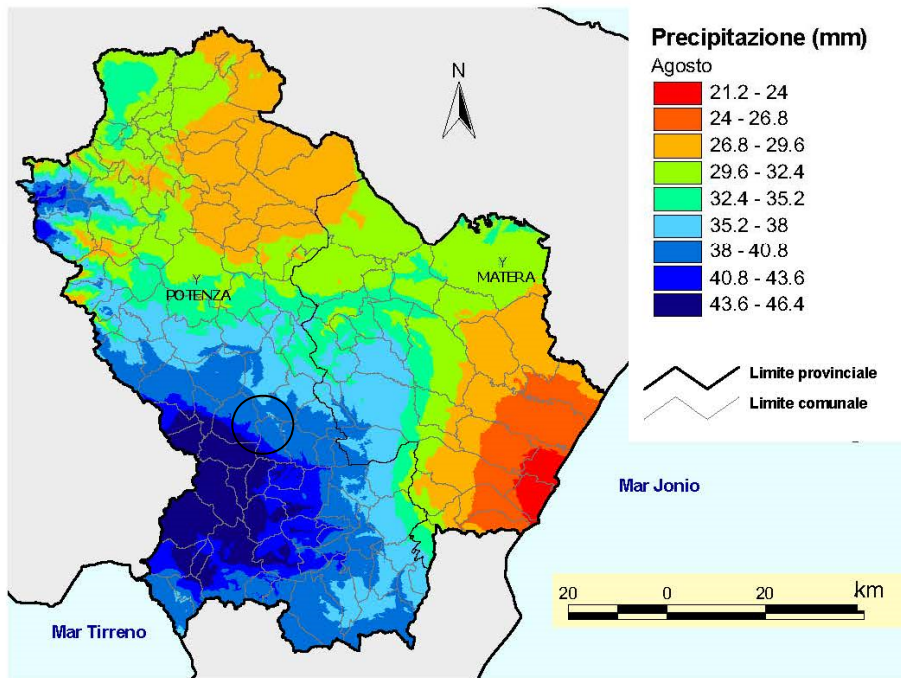


Figura 12: Mappa spaziale delle precipitazioni di agosto ottenuta con la tecnica del cokriging co-locato.

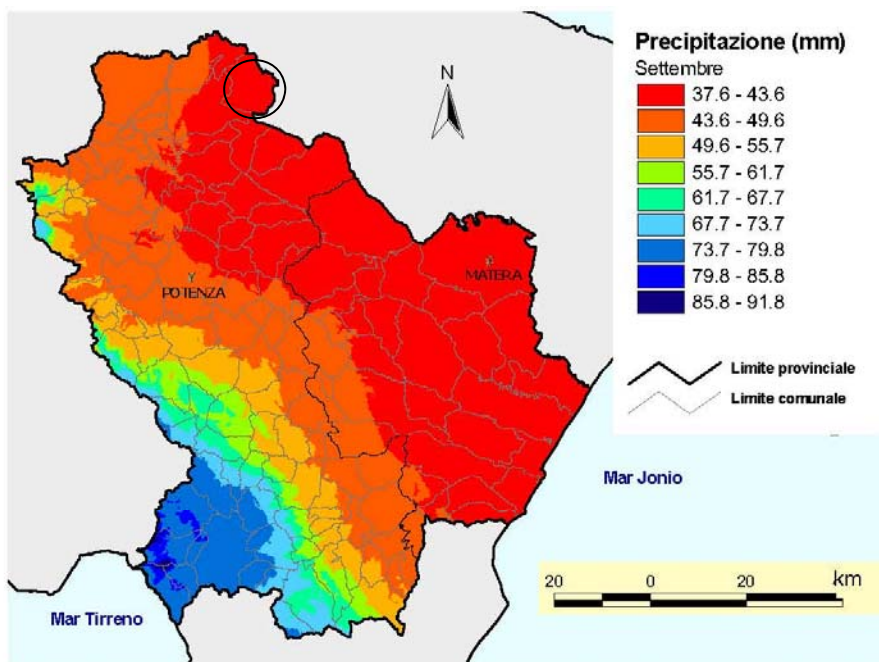


Figura 13: Mappa spaziale delle precipitazioni di settembre ottenuta con la tecnica del cokriging co-locato.

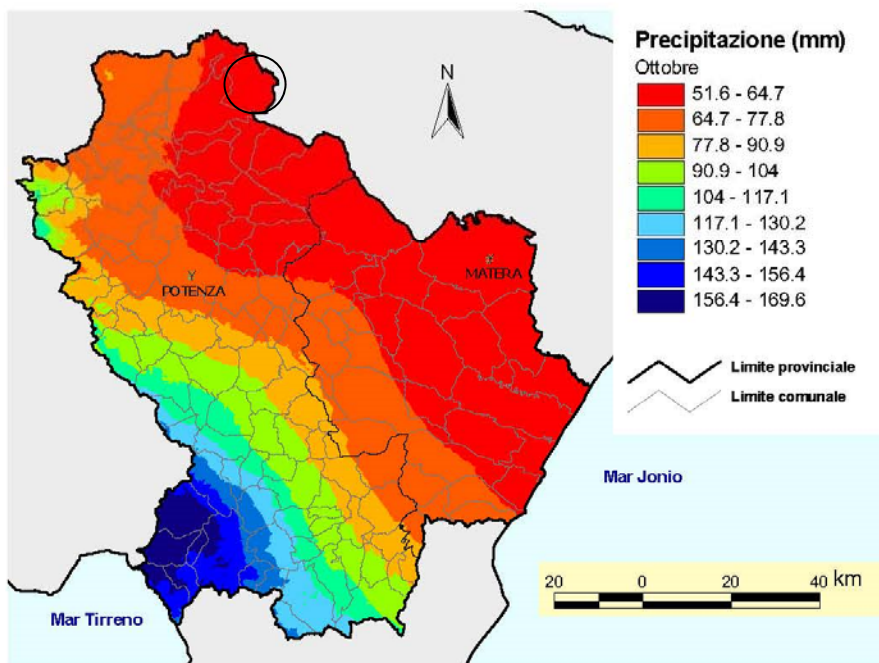


Figura 14: Mappa spaziale delle precipitazioni di ottobre ottenuta con la tecnica del cokriging co-locato.

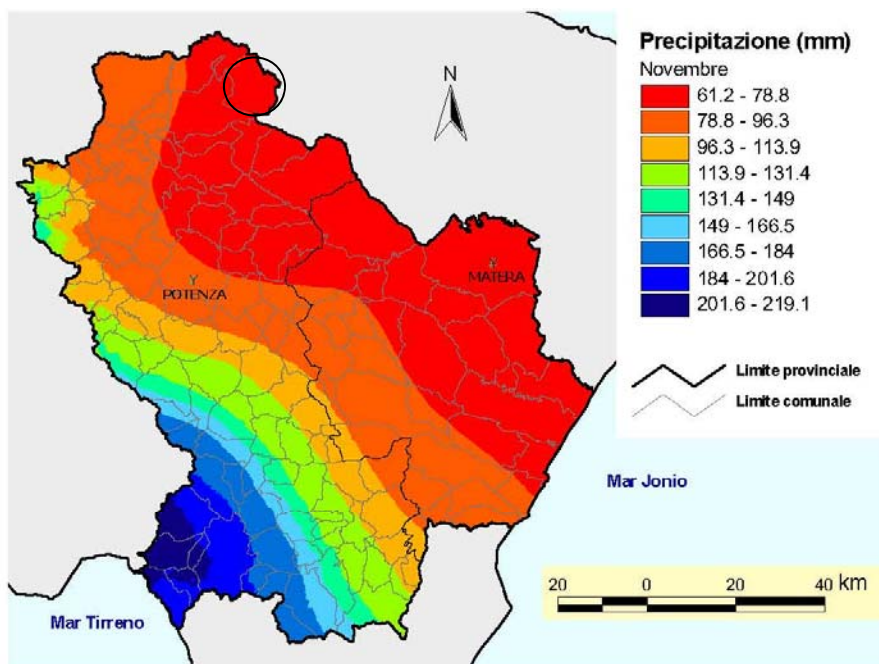


Figura 15: Mappa spaziale delle precipitazioni di novembre ottenuta con la tecnica del cokriging co-localato.

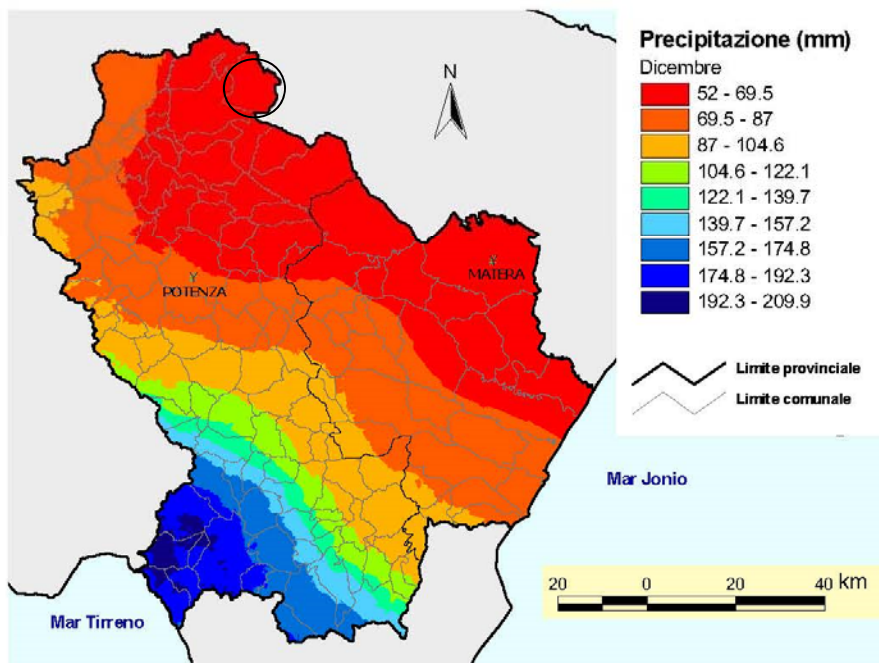


Figura 16: Mappa spaziale delle precipitazioni di dicembre ottenuta con la tecnica del cokriging co-localato.